

УДК 530.182:621.385.6

БЕЗРАЗМЕРНЫЕ НЕЛИНЕЙНЫЕ УРАВНЕНИЯ ДЛЯ ОПИСАНИЯ ДИНАМИКИ ПОЛУПРОВОДНИКОВОЙ СВЕРХРЕШЕТКИ В ПОЛУКЛАССИЧЕСКОМ ПРИБЛИЖЕНИИ

© А.Г. Баланов, А.А. Короновский, В.А. Максименко,
О.И. Москаленко, А.О. Сельский, А.Е. Храмов

Ключевые слова: полупроводниковая сверхрешетка; безразмерные уравнения; полуклассическое приближение. В работе описаны безразмерные нелинейные уравнения для описания динамики полупроводниковой сверхрешетки, являющиеся основой для моделирования состояния исследуемой наноструктуры.

Полупроводниковые сверхрешетки [1–2] представляют собой наноструктуры, состоящие из перемежающихся слоев нескольких (двух и более) полупроводниковых материалов. Из-за разницы в ширине запрещенной зоны в разных полупроводниках граница зоны проводимости идеальной сверхрешетки периодически модулируется, что создает условия для формирования энергетических «минизон». В присутствии внешних электрических и магнитных полей транспорт электронов в минизонах может иметь сложный характер и сопровождаться рядом интересных нетривиальных эффектов, включающих возникновение сверхвысокочастотных Блоховских колебаний, динамическую локализацию электронов, отрицательную дифференциальную дрейфовую скорость электронов, циклотрон-блоховские резонансы, динамический хаос и т. д. Таким образом, полупроводниковая сверхрешетка представляет для исследователей удобную и гибкую среду для изучения квантового транспорта в периодических потенциалах. С другой стороны, вышеупомянутые эффекты делают полупроводниковую сверхрешетку перспективным элементом в устройствах высокочастотной электроники, способной в потенциале работать в диапазоне до нескольких терагерц. Изучение сложной нелинейной динамики электронов и разработка принципов управления электронным транспортом в полупроводниковых сверхрешетках является в настоящее время важной и актуальной задачей на стыке физики полупроводников и нелинейной динамики и соответствует современному состоянию мировой науки в этих направлениях [3–5].

Важной и неизученной проблемой, связанной с исследованием сверхразмерных наноструктур, является изучение возможностей управления пространственно-временной коллективной динамикой электронов в полупроводниковых сверхрешетках, находящихся под действием внешних электрического и наклонного магнитного полей. Разработка методов управления сложной динамикой электронов в этом случае позволит поставить вопрос о создании управляемых перестраиваемых генераторов терагерцового диапазона на основе полупроводниковых сверхрешеток. Основные фунда-

ментальные вопросы, которые требуют детального теоретического исследования, в этом направлении можно сформулировать следующим образом. Как будет меняться коллективная динамика электронов в сверхрешетке при наличии внешнего воздействия (как периодического, так и хаотического)? Возможна ли синхронная динамика блоховских осцилляций электронов и как следствие – установление синхронных пространственно-временных режимов? Существует ли возможность осуществить управление возникающими режимами с помощью внешних сигналов? Какое влияние будет оказывать температура на характеристики колебаний и можно ли использовать ее как управляющий параметр, позволяющий влиять на характер колебаний в полупроводниковой сверхрешетке? Ответить на ряд подобных вопросов можно с помощью численного моделирования динамики полупроводниковой сверхрешетки. При этом в рамках численного моделирования, оказывается, гораздо удобнее оперировать безразмерными уравнениями, описывающими динамику доменов заряда в полупроводниковой наноструктуре. В то же самое время после проведения расчетов полученные в безразмерных единицах величины могут быть приведены к размерному виду, например, для сопоставления с результатами экспериментальных исследований.

Для численного моделирования динамики полупроводниковой сверхрешетки рассмотрим дискретное представление такой системы. По аналогии с [4] разобьем сверхрешетку на достаточно большое число N узких слоев с шириной Δx . В пределах каждого m -го слоя концентрация электронов n_m полагается постоянной.

Обозначим концентрацию электронов в слое m как n_m .

Эволюция плотности заряда в слое m описывается уравнением непрерывности:

$$e\Delta x \frac{dn_m}{dt} = J_{m-1} - J_m, \quad m = 1 \dots N, \quad (1)$$

где $e > 0$ – заряд электрона; F_m и F_{m+1} – значения напряженности электрического поля на левой и правой границе m -го слоя, соответственно; J_{m-1} и J_m – плотности тока, протекающего через левую и правую границу слоя. В рамках дрейфового приближения, пренебрегая диффузией, плотность тока J_{m-1} определяется как

$$J_m = en_m v_d(\overline{F_m}), \quad (2)$$

где v_d описывает дрейфовую скорость электрона в слое m , вычисленную для среднего значения напряженности электрического поля $\overline{F_m}$ в слое m [4]. Для каждого слоя m справедливо дискретное представление уравнение Пуассона

$$F_{m+1} = \frac{e\Delta x}{\varepsilon_0 \varepsilon_r} (n_m - n_D) + F_m, \quad m = 1 \dots N, \quad (3)$$

в котором n_D описывает равновесную концентрацию электронов, определяемую уровнем легирования, а ε_0 и ε_r обозначают электрическую постоянную и относительную диэлектрическую проницаемость материала, соответственно.

Если предположить омические контакты на эмиттере и коллекторе сверхрешетки, то плотность тока через эмиттер J_0 будет определяться проводимостью контакта σ $J_0 = \sigma F_0$, а напряженность электрического поля F_0 может быть найдена из уравнения Кирхгофа:

$$V = U + \frac{\Delta x}{2} \sum_{m=1}^N (F_m + F_{m+1}), \quad (4)$$

где V – напряжение, приложенное к сверхрешетке; U описывает падение напряжения на контактах, с учетом формирования слоев повышенной концентрации заряда вблизи эмиттера и пониженной концентрации зарядов вблизи коллектора сверхрешетки [3]:

$$\begin{aligned} U = & F_0(\Delta x_l - \Delta x_s) + F_0(\Delta x_l - \Delta x_q) + \\ & + F_1 \Delta x_s + F_{N+1} \Delta x_q + \\ & + F_{N+1} \Delta x_q - \frac{en_0(\Delta x_q)^2}{2\varepsilon_0 \varepsilon_r} + \sigma F_0 A R_c. \end{aligned} \quad (5)$$

В соотношении (5) Δx_l определяет длину контактов, Δx_s и Δx_q задают протяженность области повышенной и пониженной концентрации электронов вблизи контактов, n_0 – концентрация электронов в контактном слое, A – площадь контакта, а R_c – контактное сопротивление, учитывающее сопротивление измерительной линии. Зная плотность тока в каждом слое,

можно вычислить силу тока, протекающего через сверхрешетку:

$$I(t) = \frac{A}{N+1} \sum_{m=0}^N J_m, \quad (6)$$

соответствующий тому, который можно измерить в реальном эксперименте.

В безразмерном виде уравнения, описывающие поведение полупроводниковой сверхрешетки в продольном электрическом и наклонном магнитных полях, могут быть записаны в следующем виде. Уравнение непрерывности примет вид:

$$\Delta X \frac{d\tilde{n}_m}{d\tilde{t}} = \tilde{J}_{m-1} - \tilde{J}_m, \quad m = 1 \dots N, \quad (7)$$

где $\Delta X = \Delta x/d$ – безразмерная ширина слоя; $\tilde{n}_m = n_m/n_D$ – безразмерная концентрация электронов в слое m ; \tilde{J}_m – безразмерная плотность тока в m -м слое; $\tilde{t} = \omega_{B0} t$ – безразмерное время; $\omega_{B0} = \frac{edF^0}{\hbar}$ – значение блоховской частоты, используемое для нормировки; $F^0 = 3,145 \cdot 10^6$ В/м – нормирующее значение электрического поля. Безразмерная плотность электрического тока

$$\tilde{J} = \frac{J}{en_d \omega_{B0} d} \quad (8)$$

связана с безразмерной концентрацией электронов и безразмерной дрейфовой скоростью как

$$\tilde{J} = \tilde{n} \tilde{v}_d. \quad (9)$$

Дискретное представление уравнения Пуассона в безразмерном виде записывается как

$$f_{m+1} = R(\tilde{n}_m - 1)\Delta X + f_m, \quad m = 1 \dots N, \quad (10)$$

где $R = \frac{edn_D}{F_0 \varepsilon_0 \varepsilon_r}$ – безразмерный параметр, характеризующий сверхрешетку (для выбранных значений параметров полупроводниковой сверхрешетки, использованных при проведении исследований, $R = 0,11460$);

$f = \frac{F}{F^0}$ – безразмерная напряженность электрического поля F .

Аналогично, соотношение (4), описывающее распределение напряжений на полупроводниковой наноструктуре и контактах, в безразмерных величинах будет записываться в виде:

$$\tilde{V} = \tilde{U} + \frac{\Delta X}{2} \sum_{m=1}^N (f_m + f_{m+1}), \quad (11)$$

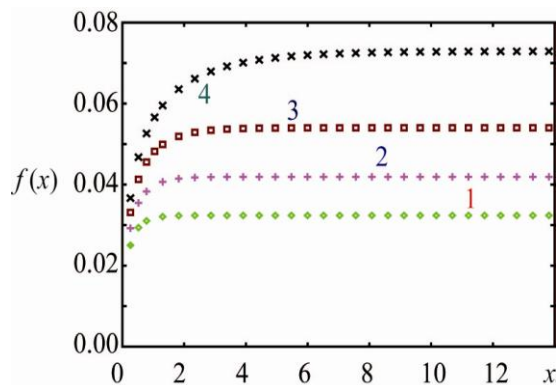


Рис. 1. Зависимость безразмерной величины электрического поля от координаты в полупроводниковой сверхрешетке. Кривая 1 соответствует напряжению $\tilde{V} = 6,8956$ ($V = 180$ мВ), кривая 2 – $\tilde{V} = 8,4280$ ($V = 220$ мВ), кривая 3 – $\tilde{V} = 9,9604$ ($V = 260$ мВ), кривая 4 – $\tilde{V} = 11,4930$ ($V = 300$ мВ)

где $\tilde{V} = \frac{V}{F^0 d}$ – безразмерное напряжение, приложенное к сверхрешетке;

$\tilde{U} = \frac{U}{F^0 d}$ – безразмерное падение

напряжения на контактах, с учетом формирования слоев повышенной концентрации заряда вблизи эмиттера и пониженной концентрации зарядов вблизи коллектора сверхрешетки. В свою очередь, безразмерное падение напряжения на контактах с учетом формирования слоев повышенной концентрации заряда вблизи эмиттера и пониженной концентрации зарядов вблизи коллектора сверхрешетки примет вид:

$$\begin{aligned} \tilde{U} &= f_0(\Delta\tilde{x}_l - \Delta\tilde{x}_s) + f_0(\Delta\tilde{x}_l - \Delta\tilde{x}_q) + \\ &+ f_1\Delta\tilde{x}_s + f_{N+1}\Delta\tilde{x}_q + \\ &+ f_{N+1}\Delta\tilde{x}_q - \frac{\kappa(\Delta\tilde{x}_q)^2}{2} + S_R f_0, \end{aligned} \tag{12}$$

где $\tilde{U} = \frac{U}{F^0 d}$; $\Delta\tilde{x}_l = \frac{\Delta x_l}{d}$; $\Delta\tilde{x}_q = \frac{\Delta x_q}{d}$; $\Delta\tilde{x}_s = \frac{\Delta x_s}{d}$;

$$S_R = \frac{\sigma R A}{d}; \kappa = \frac{e d n_0}{\epsilon_0 \epsilon_r F^0}.$$

На рис. 1 приведены характерные распределения электрического поля в полупроводниковой сверхрешетке при различных величинах приложенного к ней напряжения (лежащих ниже напряжения, соответствующего порогу генерации), полученные с помощью вышеописанных нелинейных безразмерных уравнений.

ЛИТЕРАТУРА

1. *Esaki L., Tsu R.* Superlattices and Negative Differential Conductivity in Semiconductors // IBM J. Res. Develop. 1970. V. 14. P. 61.
2. *Шук А.Я.* Сверхрешетки – периодические полупроводниковые структуры // ФТП. 1974. Т. 8. С. 1841.
3. *Fromhold T.M., Patane A., Bujkiewicz S., Wilkinson P.B., Fowler D., Sherwood D., Stapleton S.P., Krokhin A.A., Eaves L., Henini M., Sankeshwar N.S., Sheard F.W.* Chaotic electron diffusion through stochastic webs enhances current flow in superlattices // Nature. 2004. V. 428. P. 726.
4. *Greenaway M.T., Balanov A.G., Scholl E., Fromhold T.M.* Controlling and enhancing terahertz collective electron dynamics in superlattices by chaos-assisted miniband transport // Phys. Rev. B. 2009. V. 80. P. 205318.
5. *Баланов А.Г., Короновский А.А., Сельский А.О., Храмов А.Е.* Влияние температуры на дрейфовую скорость электронов в полупроводниковой сверхрешетке в продольном электрическом и наклонном магнитном полях // Известия вузов. Прикладная нелинейная динамика. 2010. Т. 18. С. 128.

БЛАГОДАРНОСТИ: Работа выполнена при поддержке Федеральной целевой программы «Научные и научно-педагогические кадры инновационной России» на 2009–2013 гг.

Поступила в редакцию 11 июля 2012 г.

Balanov A.G., Koronovskiy A.A., Maksimenko V.A., Moskalenko O.I., Selskiy A.O., Khramov A.E. DIMENSIONLESS NONLINEAR EQUATIONS FOR SIMULATION OF SEMICONDUCTOR SUPERLATTICE DYNAMICS IN SEMI-CLASSICAL APPROXIMATION

The dimensionless nonlinear equations for simulation of the semiconductor superlattice, which are the base for researched nanostructure condition modeling, are described.

Key words: semiconductor superlattice; dimensionless equations; semi-classical approximation.